EDN: VVZMGD УДК: 621.383

2.2.8

АНАЛИЗ ФИЗИЧЕСКИХ ПОДХОДОВ ДЛЯ ПРОЕКТИРОВАНИЯ СТРУКТУРЫ РЕФЕРЕНСНОГО КОМБИНИРОВАННОГО ВОЛОКОННО-ОПТИЧЕСКОГО ДАТЧИКА ПАРАМЕТРОВ ВОЗДУХА НА ОСНОВЕ ИНТЕРФЕРОМЕТРОВ ФАБРИ-ПЕРО

Д.С. Грабовецкий, Д.Н. Матвеев, Г.А. Морозов, И.И. Нуреев, Э.В. Белов

Казанский национальный исследовательский технический университет им. А.Н. Туполева-КАИ Российская Федерация, 420111, г. Казань, Карла Маркса, 10

Аннотация. В докладе рассмотрены физические подходы для проектирования референсного комбинированного волоконно-оптического датчика (РКВОД) параметров воздуха (температуры, давления, относительной влажности) для многосенсорных систем качественного и количественного мониторинга концентрации парниковых газов в нем. Проведен анализ физических основ проектирования датчиков указанного класса и разработаны варианты их перспективной структурной реализации на двух параллельных или последовательных резонаторах Фабри-Перо (РФП) и одной адресной волоконной брэгговской структуре (АВБС).

Ключевые слова: воздух; давление; температура; относительная влажность; интерферометр Фабри-Перо; эффект Вернье; адресная волоконная брэгговская структура.

Введение

Для некоторых приложений, таких как качественный и количественный мониторинг воздуха в режиме реального времени при решении экологических задач контроля концентрации парниковых газов [1, 2] или задач контроля эффективности эксплуатации солнечных батарей [3], которая напрямую связана с температурой и относительной влажностью окружающего воздуха, очень востребованы группы точек измерений и квазираспределенный характер их расположения, в том числе дистанционно разнесенных с пунктом сбора и обработки информации. Данные группы, объединенные в информационно-измерительную многосенсорную сеть, требуют многоточечной интеррогации для отслеживания изменения информации со всех датчиков параллельно, включая входящие в структуру сети референсные датчики контроля только параметров воздуха.

Анализируя работу существующих сетей указанного типа, можно отметить сложность изготовления КВОД, адаптированных к параллельному опросу, их безадресность, наличие в структуре сетей, соединяющих КВОД, протяженных и разветвленных участков оптических волокон, подверженных влиянию различных внешних физических факторов, а также необходимость применения референсных КВОД (РКВОД), которые должны находится в строго контролируемых и стабильных условиях и обладать возможностью высокоточных и многопараметрических измерений.

В докладе рассмотрены физические подходы для проектирования референсного комбинированного волоконно-оптического датчика (РКВОД) параметров воздуха (температуры, давления, относительной влажности) для многосенсорных систем качественного и количественного мониторинга концентрации парниковых газов в нем.

Проведен анализ физических основ проектирования датчиков указанного класса и разработаны варианты их перспективной структурной реализации на двух параллельных или последовательных резонаторах Фабри-Перо (РФП) и одной адресной волоконной брэгговской структуре (АВБС). Последняя необходима для обеспечения адресности датчиков [4], применяемых в структуре сети, но может быть использована и для дополнительного измерения, например, температуры.

Анализ физических подходов для проектирования структуры РКВОД

Чтобы полностью пояснить принцип работы РКВОД, в качестве примера возьмем два РФП с параллельным включением (АВБС пока исключим из рассмотрения), характеристики которого зависят от эффекта Вернье [5]. Обобщенная схема такого РКВОД показана на рис. 1.

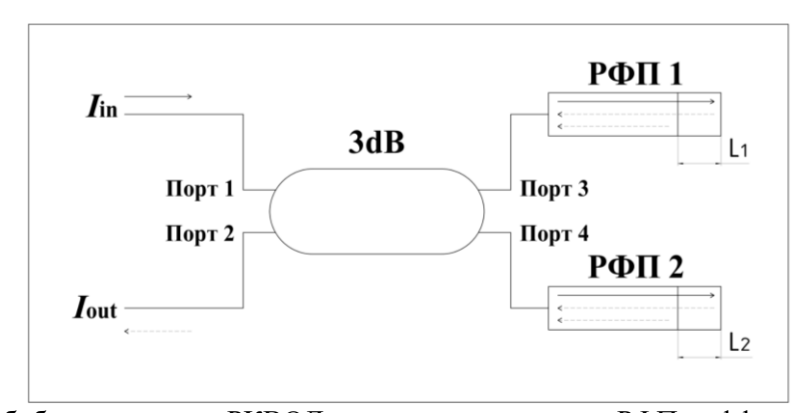


Рис. 1. Обобщенная схема РКВОД на двух параллельных РФП с эффектом Вернье

Для соединения двух РФП с широкополосным лазерным источником (ШЛИ) и оптическим анализатором спектра (ОАС) используется оптический каплер 2×2 с коэффициентом деления 3 дБ (ОК). В случае, показанном на рис. 1, когда два РФП подключены параллельно, свет, излучаемый ШЛИ, поступает в ОК из порта 1. В ОК свет разделяется на два плеча с одинаковыми мощностями, а затем подается на два РФП через порты 3 и 4 соответственно. Свет в РФП распространяется по отличным оптическим путям с определенной разностью, что приводит к интерференции. Интерференционный сигнал, генерируемый двумя РФП, отражается обратно, и через ОК поступает на порт 2 ОАС для измерения.

Измеренная отраженная интенсивность порта 2 описывается как:

$$I_{\text{out}} = I_{\text{in}} - 2AB \left[\cos \left(2\pi \frac{L_1}{\lambda} \right) + \cos \left(2\pi \frac{L_2}{\lambda} \right) \right] + B^2 \cos \left(2\pi \frac{\delta}{\lambda} \right), \tag{1}$$

где $I_{\rm in}$ — интенсивность на входе в РФП, A и B — коэффициенты, связанные с коэффициентами отражениями на каждом из зеркал РФП, λ — длина волны, L_1 и L_2 — длины оптических путей первого измерительного и второго опорного РФП соответственно, расстройка δ между которыми равна δ = L_1 – L_2 .

Модуляция огибающей Вернье описывается последним членом (1) и представляет собой косинусоидальное колебание с частотой, зависящей от расстройки между двумя РФП. Параметры модуляции определяются величинами свободного спектрального диапазона и фазы огибающей Вернье, которая задается аргументом косинусной функции:

$$FSR_{EV} = \left| \frac{\lambda_1 \lambda_2}{\delta} \right| = \frac{FSR_1 FSR_2}{FSR_1 - FSR_2}, \tag{2}$$

$$\varphi_{EV} = 2\pi \frac{\left(L_1 - L_2\right)}{\lambda},\tag{3}$$

где λ_1 и λ_2 – длины волн двух последовательных максимумов (или минимумов) огибающей Вернье, FSR₁ и FSR₂ – свободный спектральный диапазон (*om англ.* – FSR, free spectral range) первого и второго РФП соответственно.

Важной величиной, используемой для характеризации оптического эффекта Вернье является коэффициент увеличения чувствительности (*М*-фактор). Эта величина устанавливает сравнение между огибающей Вернье и интерференционным сигналом от измерительного РФП:

$$M = \frac{FSR_{EV}}{FSR_1} = \frac{FSR_2}{FSR_1 - FSR_2} = \frac{L_1}{\delta}.$$
 (4)

M-фактор стремится к бесконечности по мере приближения расстройки между двумя интерферометрами к нулю. Еще раз стоит отметить, что один из интерферометров, опорный, рассматривается как стабильный эталон или интерферометры должны быть независимыми по измеряемому параметру. Если это условие не проверено, определение M-фактора становится более сложным.

Подобная задача может решаться при двухпараметрических параллельных измерениях, например, температуры и относительной влажности воздуха, а также при последовательном включении независимых РФП1 и РФП2 также для контроля каждого из параметров отдельно (рис. 2).

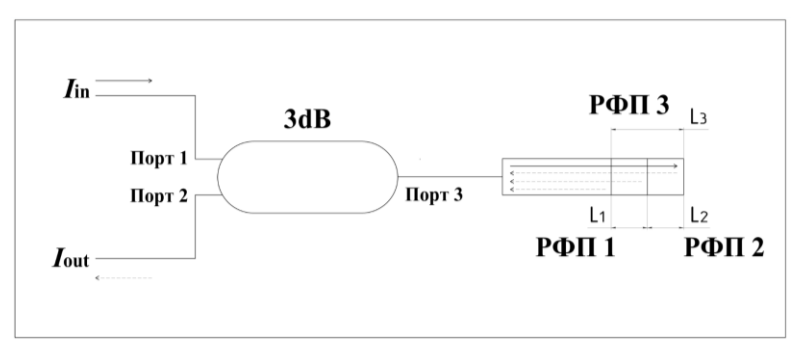


Рис. 2. Обобщенная схема РКВОД на двух последовательных РФП с эффектом Вернье

Для решения задачи при последовательном включении вводится условный интерферометр РФП3 с общей длиной $L_3=L_1+L_2$. Тогда FSR огибающей Вернье будет определяться как:

$$FSR_{EV} = \frac{FSR_1FSR_3}{\left|FSR_1 - FSR_2\right|},\tag{5}$$

а коэффициент увеличения M:

$$M = \frac{FSR_1}{|FSR_1 - FSR_2|} = 1 + \frac{n_2 L_1}{n_3 L_2},$$
(6)

где $n_{2,3}$ – показатели преломления тонких пленок РФП1 и РФП2 соответственно.

Коэффициент увеличения и при параллельном, и при последовательном включениях, как правило, выбирается в пределах 5-10.

Для обеспечения адресности измерений предлагается применение АВБС [6-8]. Для преодоления ограничений квазираспределенных сенсорных систем на классических волоконных брэгговских решетках (высокая стоимость и сложность оптических анализаторов спектра и безадресных оптико-электронных приборов их опроса интеррогаторов), предложены АВБС, представляющие собой особый тип волоконных брэгговских решеток, спектральный отклик которых имеет две или более узкополосные компоненты в спектре отражения или передачи, разностная частота между которыми лежит в радиочастотном диапазоне спектра (ГГц) и называется адресной. Адресная частота инвариантна к сдвигу центральной длины волны АВБС, вызываемой деформацией или изменением температуры, что позволяет использовать ее как уникальный идентификатор с прямым типом измерений. Постановка задачи позволила сформулировать комплекс требований к данному классу датчиков, включающий необходимость обеспечения возможности недорогого и простого в реализации радиофотонного интеррогатора АВБС во всём диапазоне измерений, при условии, что в область контроля должны попадать исключительно узкополосные компоненты их спектрального отклика [9-10]. Наилучшими характеристиками по узкополосности обладают АВБС, синтезированные по методу Ильина-Морозова, впервые реализованного не во времени, а в пространстве – в области показателя преломления сердцевины оптического одномодового волокна [11].

Заключение

В результате проведенных исследований предложена концепция развития РКВОД для квази-распределенных сетей качественного и количественного мониторинга параметров воздуха, используемых в решении экологических задач контроля концентрации парниковых газов или задач контроля эффективности эксплуатации фотовольтаических панелей (солнечных батарей) и др. в режиме реального времени. Данная концепция основывается на том, что современный уровень развития фотонных и технологий позволяет пересмотреть радиофотонных подходы К усовершенствованию функций параллельного зондирования множества датчиков как в их внешней топологии, так и во внутренней структуре, например, с применением АВБС. Системы автоматик, контроля и управления рассматриваемыми сетями становятся максимально близкими к внедрению в них технологий искусственного интеллекта, для которых пока не сложились предпосылки для реальных практических применений, несмотря на предложение многими авторами отдельных разработанных методик, к сожалению, невысокого уровня интеллектуальной значимости.

Благодарности

Работа выполнена за счет средств Программы стратегического академического лидерства Казанского национального исследовательский технического университета имени А.Н. Туполева-КАИ («Приоритет-2030»).

Материалы представлены на Международной научно-практической конференции «Современные подходы и практические инициативы в инженерных науках» (г. Казань, 2–3 октября 2025 года).

Список литературы

- 1. Morozov, O. Addressed combined fiber-optic sensors as key element of multisensor greenhouse gas monitoring systems / O. Morozov, Y. Tunakova, S. M. R. H. Hussein, et al. // Sensors. 2022. Vol. 22. № 13. P. 4827.
- 2. Shagvaliev, R. M. Formulation of design tasks for a fiber-optic reference air sensor for qualitative and quantitative monitoring of air parameters / R. M. Shagvaliev, O. G. Morozov, A. Zh. Sakhabutdinov, et al. // Vestnik of Volga State University of Technology. Ser.: Radio Engineering and Infocommunication Systems. − 2024. − № 3. − P. 53-66.
- 3. Morozov, O.G. Microwave photonic sensing for temperature monitoring of on-board photovoltaic panels / O.G. Morozov, A.Zh. Sakhabutdinov, D.N. Matveev, et al. // Proc. IEEE 2024 Systems of Signals Generating and Processing in the Field of Onboard Communications. 2024. P. 10496795.
- 4. Nureev, I. I. Passive fiber optic quasi-distributed sensor network for water level monitoring at discrete points in a reservoir with address multiplexing / I. I. Nureev, A. D. Proskurjakov, N. D. Smirnov, et al. // Vestnik of Volga State University of Technology. Ser.: Radio Engineering and Infocommunication Systems. 2024. № 1. P. 77-90.
- 5. Chen, Y. Advanced fiber sensors based on the Vernier effect / Y. Chen, L. Zhao, S. Hao, et al. // Sensors. 2022. Vol. 22. P. 2694.
- 6. Morozov, O. G. Addressed fiber Bragg structures in quasi-distributed microwave-photonic sensor systems / O. G. Morozov, A. J. Sakhabutdinov // Computer Optics. 2019. T. 43. № 4. C. 535-543.
- 7. Morozov, O. Multi-addressed fiber Bragg structures for microwave-photonic sensor systems / O. Morozov, A. Sakhabutdinov, R.S. Misbakhov, et al. // Sensors. 2020. Vol. 20. P. 2693.
- 8. Agliullin, T. Overview of addressed fiber Bragg structures development / T. A. Agliullin, et al. // Photonics. 2023. Vol. 10. P. 175.
- 9. Makarov, R. Enhancing microwave photonic interrogation accuracy for fiber-optic temperature sensors via artificial neural network integration / R. Makarov, M.R.T.M. Qaid, B. Valeev, et al. // Optics. 2024. Vol. 5. P. 223-237.
- 10. Agliullin, T. Comparative analysis of the methods for fiber Bragg structures spectrum modeling / T. Agliullin, V. Anfinogentov, A. Sakhabutdinov, et al. // Algorithms. 2023. Vol. 16. P. 101.
- 11. Valeev, B. I. Superstructured addressed fiber Bragg structures / B. I. Valeev, R. A. Makarov, T. A. Agliullin, et al. // Computer Optics. 2025. Vol. 49(3). P. 399-405.

ANALYSIS OF PHYSICAL APPROACHES FOR DESIGNING THE STRUCTURE OF A REFERENCE COMBINED FIBER-OPTIC AIR PARAMETERS SENSOR BASED ON FABRY-PEROT INTERFEROMETERS

D. S. Grabovetsky, D. N. Matveev, G. A. Morozov, I. I. Nureev, E. V. Belov

Kazan National Research Technical University named after A.N. Tupolev-KAI 10, Karl Marx, Kazan, 420111, Russian Federation

Absrtact. The report considers physical approaches to designing a reference combined fiber-optic sensor of air parameters (temperature, pressure, relative humidity) for multisensor systems for qualitative and quantitative monitoring of greenhouse gas concentrations in it. An analysis of the

МНПК «СОВРЕМЕННЫЕ ПОДХОДЫ В ИНЖЕНЕРНЫХ НАУКАХ»

Электроника, фотоника и киберфизические системы. 2025. Т.5. №3

physical principles of designing sensors of this class is carried out and options for their promising structural implementation on two parallel or serial Fabry-Perot resonators and one addressable fiber Bragg structure are developed.

Keywords: air; pressure; temperature; relative humidity; Fabry-Perot interferometer; Vernier effect; addressable fiber Bragg structure.

Материалы представлены на Международной научно-практической конференции «Современные подходы и практические инициативы в инженерных науках» (г. Казань, 2-3 октября 2025 года).

Статья представлена в редакцию 15 августа 2025 г.